

(HUANJING KEXUE)

ENVIRONMENTAL SCIENCE

第34卷 第6期

Vol.34 No.6

2013

中国科学院生态环境研究中心 主办

科学出版社出版



ENVIRONMENTAL SCIENCE

第34卷 第6期 2013年6月15日

目 次

2008 ~ 2010 年北京城区大气 BTEX 的浓度水平及其 9、生成潜势
·····································
沈阳市降水化学成分及来源分析
笼养肉鸡生长过程 NH ₃ 、N ₂ O、CH ₄ 和 CO ₂ 的排放
碳化硅协同分子筛负载型催化剂微波辅助催化氧化甲苯性能 … 王晓晖,卜龙利,刘海楠,张浩,孙剑宇,杨力,蔡力栋(2107)
在氧化和还原氛围下脉冲电晕法降解二硫化碳废气 金圣,黄立维,李国平(2121)
模拟大气 CO, 水平升高对春季太湖浮游植物生理特性的影响 赵旭辉, 汤龙升, 史小丽, 杨州, 孔繁翔(2126)
HSPF 径流模拟参数敏感性分析与模型适用性研究
基于非点源污染的水质监测方案研究
不同的强下员际暴放标记往机分分铜口机制研究 春季东海赤潮发生前后营养盐及溶解氧的平面分布特征 ··················· 李鸿妹,石晓勇,陈鹏,张传松(2159)
三峡库区大宁河枯水期藻细胞的时空分布 张永生,郑丙辉,王坤,姜霞,郑浩(2166) 郑沪诏和柳汾昭州东和复织公的藻类可利田州 江传带 北县 传文卷 玉又思 李乾游 埃尼丽 计线点 甄士克(2176)
刚毛藻分解对上覆水磷含量及赋存形态的影响 冯怜宝, 派生, 黑立朝, 王奎瑞, 学物好, 崔风丽, 竹绾金, 玑芯菇(2176)
反复扰动下磷在沉积物和悬浮物以及上覆水间的交换 ************************************
二峡库区王安文流表层沉积物多溴联本醚的分布特值 ······· 学芘,赵尚峰,周怀东,刈皖如,余丽芩,义武,张昉伟(2198) UV 和 H.Q, 联合消毒灭活饮用水中大肠杆菌研究 ····································
臭氧降解水中邻苯二甲酸二甲酯的动力学及影响因素 于丽,张培龙,侯甲才,庞立飞,李越,贾寿华(2210)
· 朗酸根对水体甲甲基汞光化字降解的影响 · · · · · · · · · · · · · · · · · · ·
金属离子对 δ -MnO,去除对叔辛基酚抑制作用的研究 ————————————————————————————————————
核-完表面磁性印迹聚合物的制备及具对水中双酚 A 的特异性去除
纳滤预处理测定景观水体中溶解性有机氮质量浓度及其分布特征 … 于红蕾,霍守亮,杨周生,席北斗,昝逢宇,张靖天(2256)
改性水凝胶的制备及其对 Pb ²⁺ 、Cd ²⁺ 吸附性能研究
基于微气泡曝气的生物膜反应器处理废水研究 张磊,刘平,马锦,张静,张明,吴根(2277)
Fenton 法处理竹制品废水生化出水的研究
进水底物浓度对蔗糖废水产酸合成 PHA 影响研究
接种好氧颗粒污泥快速启动硝化工艺的过程研究
案解乃犯去陈尚祁良铅的影响囚系研究 ····································
我国淡水水体中双酚 A(BPA)的生态风险评价
麦穗鱼物种敏感性评价 ····································
桂林市交警头发 Hg、Pb 含量及分布研究
直流电场处理后隆线溞趋光性对 Cr ^o *和 Hg ⁻ *的响应 ····································
7种树木的叶片微形态与空气悬浮颗粒吸附及重金属累积特征 刘玲, 方炎明, 王顺昌, 谢影, 杨聃聃(2361)
溶解氧对碳氮硫共脱除工艺中微生物群落影响解析 ····································
·····································
典型滨海湿地干湿交替过程氮素动态的模拟研究 韩建刚,曹雪(2383)
三峡岸区坐山建圩地区上壤拥守里壶属分和特征及木砾切光
北京市不同区位耕作土壤中重金属总量与形态分布特征 陈志凡,赵烨,郭廷忠,王水锋,田青(2399)
李节变化对贡阳中不问切能区地表灰至里筮属的影响····································
模拟氮沉降对森林土壤有机物淋溶的影响
中基 <i>B</i> 环树植对万染物地土壤中多环方烃的异位增效洗脱修复研究 ···
长期施用粪肥蔬菜基地蔬菜中典型抗生素的污染特征
一一一一一一一一一一一一一一一一一一一一一一一一一一一一一一一一一一一一一
北京市生活垃圾转运站耗能和排污特征及其影响因素分析 王昭,李振山,冯亚斌,焦安英,薛安(2456)
要刈垃圾災烷 C.灰皮出行性的影响及地球化字模拟 ····································
富含中孔与酸性基团的生物质炭的制备与吸附性能 李坤权,李烨,郑正,张雨轩(2479)
生物灰坟个垓畔找冉温至效应滑力彻步评怕 ····································
溶解氧对碳氮硫共脱除工艺中微生物群落影响解析

改性水凝胶的制备及其对 Pb2+、Cd2+吸附性能研究

吴宁梅,李正魁*

(南京大学环境学院,污染控制与资源化研究国家重点实验室,南京 210023)

摘要:采用 60 Co- γ 射线低温辐射技术,以丙烯酸羟乙酯(HEA)和 N-乙烯基甲酰胺(NVF)为共聚单体,合成了一种新型共聚物水凝胶:聚(丙烯酸羟乙酯/N-乙烯基甲酰胺)[p(HEA/NVF)],并采用三乙烯四胺(TETA)对其进行胺化改性,制得一改性水凝胶:聚(丙烯酸羟乙酯/N-乙烯基甲酰胺)-三乙烯四胺[p(H/V)-T]. 对制备的p(HEA/NVF)凝胶进行了SEM分析和FTIR分析,并对改性后的p(H/V)-T进行XPS分析及FTIR分析. 研究了改性前后水凝胶对重金属 pb^{2+} 、 Cd^{2+} 的吸附性能,改性后水凝胶对 pb^{2+} 、 Cd^{2+} 的吸附动力学,以及重金属离子初始浓度、pH 值等对改性凝胶吸附性能的影响,并对吸附重金属前后的水凝胶进行电子能谱分析. SEM分析表明,p(HEA/NVF)水凝胶是一种具有多孔结构的高分子材料;吸附实验结果表明,相比较p(HEA/NVF),p(H/V)-T对 pb^{2+} 的吸附量增加了 700%,对 Cd^{2+} 的吸附量增加了 600%;p(H/V)-T对 pb^{2+} 、 Cd^{2+} 的吸附量增加了 500%;p(H/V)-T对 pb^{2+} 、p(HEA/NVF),p(HO)-T对 p(HEA/NVF)。对验较好地符合 p(HEA/NVF),以验验是一种具有多元结构的高分子材料;现附实验结果表明,相比较p(HEA/NVF),p(H/V)-T对 p(HEA/NVF),p(H/V)-T对 p(HEA/NVF),p(HO)-T对 p(HEA/NVF),p(HO)-T对 p(HEA/NVF),p(HO)-T对 p(HEA/NVF),p(HO)-T对 p(HEA/NVF),p(HO)-T对重金属 p(HEA/NVF),p(HO)-T对重金属 p(HEA/NVF),p(HO)-T对重金属 p(HEA/NVF),p(HO)-T对重金属 p(HEA/NVF),p(HO)-T对重金属 p(HEA/NVF),p(HO)-T对重金属 p(HO)-T对重金属 p(HEA/NVF),p(HO)-T对重金属 p(HO)-T对重金属 p(HEA/NVF),p(HO)-T对重金属 p(HEA/NVF),p(HO)-T对重金属 p(HO)-T对重金属 p(HEA/NVF),p(HO)-T对重金属 p(HO)-T对重金属 p(HO)-T对重金属 p(HO)-T对重金属 p(HEA/NVF),p(HO)-T对重金属 p(HO)-T对重金属 p(HEA/NVF),p(HO)-T对重金属 p(HO)-T对重金属 p(HO)-T对重公图 p(HO)-T对面 p

关键词:低温辐射; 共聚物水凝胶; 胺化改性; 重金属离子; 吸附机制中图分类号: X703.1 文献标识码: A 文章编号: 0250-3301(2013)06-2263-08

Preparation of a Novel Modified Hydrogel and Study of Its Adsorption Performance

WU Ning-mei, LI Zheng-kui

(State Key Laboratory of Pollution Control and Resource Reuse, School of the Environment, Nanjing University, Nanjing 210023, China)

Abstract: A novel copolymer hydrogel poly(Hydroxyethyl methacrylate/N-Vinylformamide) [p(HEA/NVF)] was prepared by 60 Co- 90 induced copolymerization, using low-temperature radiation technique. Triethylenetetramine(TETA) was applied to modify the prepared hydrogel into an ammoniated hydrogel poly(Hydroxyethyl methacrylate/N-Vinylformamide)-TETA [p(H/V)-T]. The two hydrogels prepared were characterized by using FTIR spectrometry and the p(HEA/NVF) was scanned by SEM. Moreover, the p(H/V)-T hydrogels were analyzed by XPS before and after adsorption. The adsorption capacities of Pb²⁺, Cd²⁺ on p(HEA/NVF) and p(H/V)-T were investigated. And the effects of pH, time and initial metal ion concentration on the adsorption of Pb²⁺, Cd²⁺ by p(H/V)-T were examined in batch experiments. SEM photos showed that p(HEA/NVF) hydrogel is a macroporous polymer material. Compared to the p(HEA/NVF) hydrogel, the adsorption capacities of Pb²⁺, Cd²⁺ on p(H/V)-T increased by 700% and 600%, respectively. The adsorption behaviors for Pb²⁺ and Cd²⁺ confirmed that the adsorption on p(H/V)-T followed the pseudo-second-order rate equation and was fitted to both Langmuir and Freundlich adsorption model ($R^2 > 0.95$). Besides, the adsorption capacities of p(H/V)-T increased with increasing pH values. The FTIR spectra verified that p(HEA/NVF) was indeed a copolymer of HEA and NVF monomers, and the multi-amine groups have been successfully grafted to the surface of the copolymer hydrogel. The XPS analysis concluded that the mechanism of Pb²⁺ and Cd²⁺ by p(HEA/MALA) could be the chelation between -NH₂ and metal ions.

Key words: low-temperature radiation; copolymer hydrogel; amination modification; heavy metal ions; adsorption mechanism

水凝胶是一种经适度交联而具有三维网络结构的高分子材料,因其具有独特的吸水、保水及仿生特性,被广泛应用于工业、农业、医药和生物工程材料等领域^[1]. 近年来,水凝胶在环境水处理领域的研究愈来愈多. 多数研究表明,水凝胶作为一种吸附材料,被用于吸附去除废水中有机污染物^[2~4]、无机污染物^[5,6]以及重金属离子^[7~9]等.

重金属作为一类危害很大的环境污染物,可以 通过水体积累等方式对水环境及整个生态系统产生 危害,并可能通过直接接触或食物链间接危及人类的身体健康^[10]. 近年来,重金属污染问题日趋严重,且污染事件频发,如广西的镉污染事件、江苏血铅中毒事件和陕西铅中毒事件等. 因此,采用水凝

收稿日期: 2012-09-22; 修订日期: 2012-12-24

基金项目: 江苏省环境保护科研基金项目(201108); 江苏省自然科学基金重点项目(BK2010056); 国家水体污染控制与治理科技重大专项(2012ZX07101-006, 2013ZX07101-014)

作者简介: 吴宁梅(1989~),女,硕士研究生,主要研究方向为水体 重金属污染去除技术,E-mail:wuningmei@163.com

* 通讯联系人, E-mail: zhkuili@ nju. edu. cn

胶这一新型材料吸附去除水体中重金属的研究具有 重要的实际意义.

常见的水凝胶制备方法主要有辐射法和化学法.辐射法主要包括紫外光法、微波法及高能射线辐射法;化学法主要包括乳液法、反向乳液法、反向悬浮法和分散聚合法等[11].但是化学法因操作过程中需添加引发剂、交联剂,易引入杂质,而辐射法操作过程中无需添加其他物质,方法较为清洁.

本实验以丙烯酸羟乙酯(HEA)、N-乙烯基甲酰胺(NVF)为共聚单体,在低温条件下,采用 60 Co- γ 高能射线诱导辐射共聚合,制备出一种新型共聚物水凝胶 p(HEA/NVF),并以三乙烯四胺(TETA)作为改性剂,对水凝胶进行胺化改性,制得一改性水凝胶 p(H/V)-T. 本研究分析了改性前后水凝胶对重金属 Pb^{2+} 、 Cd^{2+} 的吸附性能,并探讨了改性后水凝胶 p(H/V)-T对 Pb^{2+} 、 Cd^{2+} 的吸附行为.

1 材料与方法

1.1 试剂与仪器

丙烯酸羟乙酯(HEA)、N-乙烯基甲酰胺(NVF) 购自美国 Sigma-Aldrich 公司;硝酸铅[Pb(NO₃)₂],分析纯,购自西陇化工有限公司;硝酸镉[Cd(NO₃)₂·4H₂O],分析纯,购自上海金山亭新化工试剂厂;硝酸(HNO₃),化学纯,购自上海凌峰化学试剂有限公司;三乙烯四胺($C_6H_{18}N_4$, TETA),分析纯,购自西陇化工股份有限公司.

电子天平,日本岛津 AY120;超声清洗仪 XO-5200DT,南京先欧仪器制造有限公司;电热恒温鼓风干燥箱,上海一恒科技 DHG-9145A;恒温振荡器,上海知楚仪器 ZQTY-70;原子吸收仪,日本Hitachi Z-8100;红外光谱仪,美国 Nicolet 公司NEXUS 870;扫描电子显微镜,日本 HITACHI S-3400N.

1.2 p(HEA/NVF)水凝胶的制备

将 HEA 23.3 mL、NVF 6.7 mL(HEA/NVF = 7: 3,摩尔比)、去离子水 70 mL 置于 125 mL 棕色试剂 瓶中,混合后经 10 min 超声波处理;向混合物中充 人氮气,以保证无氧状态;在保温桶中加入适量的干冰、乙醇,维持 – 78℃温度,采用 60 Co- γ 射线辐照聚合形成 p(HEA/NVF)水凝胶,总辐照剂量为 10 kGy. 在南京辐照中心 60 Co- γ 辐射源进行辐照.

将制备好的聚合物水凝胶切成 $0.5 \text{ cm} \times 0.5 \text{ cm} \times 0$

1.3 p(HEA/NVF)的扫描电镜研究

将制备好的小块状 p(HEA/NVF)水凝胶置于冰箱中冷冻,当水凝结为冰后,将冻结的水凝胶取出并再放入超低温冰箱中(以减小水凝胶的形变),使之内部水分完全冷冻. 将完全冷冻的水凝胶放到冷冻干燥仪中,低温冻干. 将冷冻干燥的聚合物载体,经喷金处理后在扫描电子显微镜下观察并拍照.

1.4 水凝胶的胺化改性

在 250 mL 三角烧瓶中,加入 2 g 烘干的 p(HEA/NVF)凝胶和 200 mL、5 g·L⁻¹的 TETA 溶液,在 80℃下搅拌反应 4 h. 反应结束后,过滤得改性后凝胶p(H/V)-T,并用去离子水洗涤数次去除表面杂质,在 45℃下烘干备用. 重复上述步骤数次,以得到足量的改性水凝胶.

1.5 水凝胶的吸附性能实验

1.5.1 改性前后水凝胶的吸附能力实验

取改性前后水凝胶各 0.1~g,分别置于 100~mL 锥形瓶中,分别加入 50~mL、 $1~mmol \cdot L^{-1}$ 的 Pb^{2+} (pH=5.16)或 Cd^{2+} (pH=5.57)金属溶液,在 25 °C 下振荡反应 24~h. 另各取 50~mL Pb^{2+} 或 Cd^{2+} 金属溶液于 100~mL 锥形瓶中,作为空白水样,反应条件如上. 反应后取上清液稀释,用日本 Hitachi Z-8100原子吸收仪测定溶液中金属浓度. 吸附量计算公式如下:

$$q = V(c_0 - c_e) / (M \cdot m) \tag{1}$$

式中,V为加入的金属溶液体积(L);m为加入的吸附剂质量(g);M为金属的相对原子质量(g·mol⁻¹); c_0 、 c_e 为吸附前后溶液中金属浓度(mg·L⁻¹);q为吸附量(mmol·g⁻¹).

1.5.2 水凝胶的吸附动力学、等温线实验

吸附动力学实验:取一系列 100 mL 锥形瓶,分别加入水凝胶 0.1~g 和 50 mL、 $1~mmol\cdot L^{-1}$ 的 Pb^{2+} 或 Cd^{2+} 重金属溶液,在 25 ℃下振荡反应,在不同时间(6 min、15 min、30 min、1~h、2~h、4~h、8~h、12~h、24~h、36~h、48~h 和 72~h)各取出一个锥形瓶,反应结束后,分别取出反应后金属上层溶液,稀释后,用火焰原子吸收仪分别测出相应金属溶液浓度,计算对应的吸附量.

等温线实验:取一系列 100 mL 锥形瓶,分别加入水凝胶 0.1 g 和 50 mL 不同初始浓度 (0.2, 0.4, 0.6, 0.8, 1.0 和 1.2 mmol·L⁻¹)的 Pb²⁺或 Cd²⁺金属溶液在 25°C下振荡反应 72 h,反应结束后,分别取出反应后金属上层溶液,稀释后,用火焰原子吸收仪分别测出相应金属溶液浓度,计算对应的吸附量.

1.6 电子能谱分析

采用日本 Ulvac-Phi 公司 PHI-5000 VersaProbe X 射线电子能谱仪,对吸附重金属前后的p(H/V)-T 水凝胶进行电子能谱分析,取值范围为 0 ~ 4 000 eV. 单色化 Al K α ,清洁 Ag 样,Ag3d_{5/2};大面积 XPS,FWHM \leq 1.0 eV 时,灵敏度 \geq 1 000 000 cps; 20 μ m,FWHM \leq 0.60 eV 时,灵敏度 \geq 15 000 cps; 成像 XPS,最佳空间分辨率 \leq 10 μ m; 真空度: \leq 6.7 × 10 $^{-10}$ mbar.

2 结果与讨论

2.1 p(HEA/NVF)的 SEM 分析 p(HEA/NVF)水凝胶是一种具有三维结构的

聚合物,其表面形貌和结构会对其应用性能产生一定的影响。因此,对 p(HEA/NVF)水凝胶进行了 SEM 分析,结果如图 1 所示,其分别显示了 200 倍和 1 500倍下 p(HEA/NVF)的 SEM 照片。由图 1 可以看出,p(HEA/NVF)具有多孔结构,表面及内部分布着各种大小的孔道。根据图 1 (b)中的标尺可以计算出水凝胶 p(HEA/NVF)的孔径范围约在 8 ~ 30 μm 之间。通过 SEM 表征可知,p(HEA/NVF)水凝胶是一种具有多孔结构的高分子材料。

2.2 改性前后水凝胶吸附性能对比

经三乙烯四胺(TETA)改性后的p(H/V)-T水凝胶与原 p(HEA/NVF)水凝胶对 Pb^{2+} 、 Cd^{2+} 的吸附量如图2所示. 从中可知,相比较原水凝胶p(HEA/NEA)

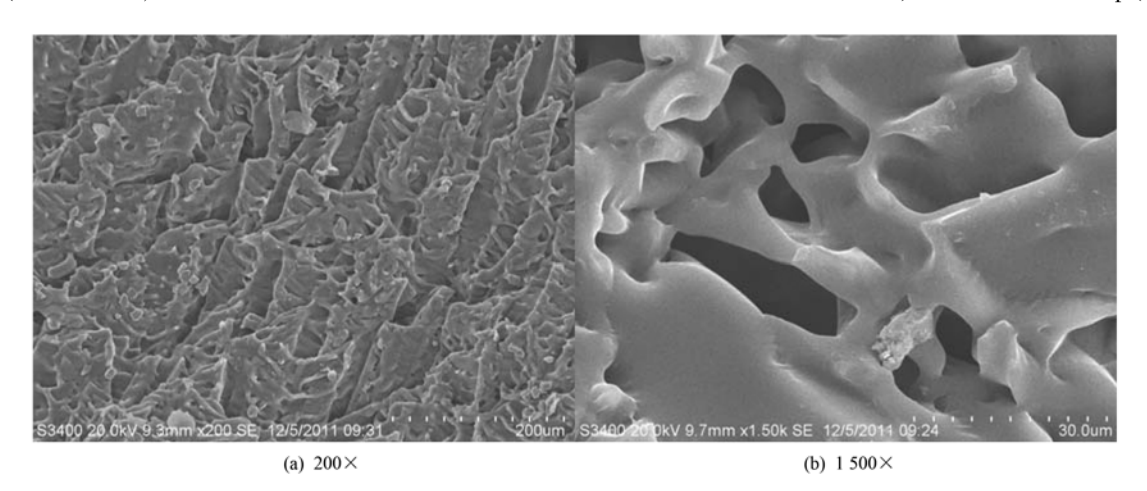


图 1 p(HEA/NVF)水凝胶的扫描电镜图

Fig. 1 SEM images of p(HEA/NVF) hydrogel

NVF),经 TETA 改性后的水凝胶p(H/V)-T的吸附量有了较大的提高:p(H/V)-T对 Pb²⁺的吸附量增加了 700%,对 Cd²⁺的吸附量增加了 600%. 这是因为,水凝胶经胺化处理后,凝胶表面增加了大量的多胺基团,这些多胺基团可与 Pb²⁺、Cd²⁺生成稳定的螯合物^[12],从而将金属离子从溶液中去除.

2.3 p(H/V)-T水凝胶对 Pb^{2+} 、 Cd^{2+} 的吸附动力学为研究改性后水凝胶p(H/V)-T对重金属离子的吸附速率,对其进行了吸附动力学实验. p(H/V)-T水凝胶分别对初始浓度为 1 $mmol \cdot L^{-1}$ 的 Pb^{2+} 、 Cd^{2+} 的吸附动力学结果如图 3 所示. 从中可以看出,在吸附初期($0 \sim 5$ h)内,p(H/V)-T对两种重金属的吸附量迅速增加(Pb^{2+} 吸附量约达到平衡吸附量的 60%、 Cd^{2+} 吸附量约达到平衡吸附量的 65%),在 24 h 时,p(H/V)-T对 Cd^{2+} 的吸附基本达到平衡;在 36 h 时,p(H/V)-T对 Pb^{2+} 的吸附基本达到平衡.

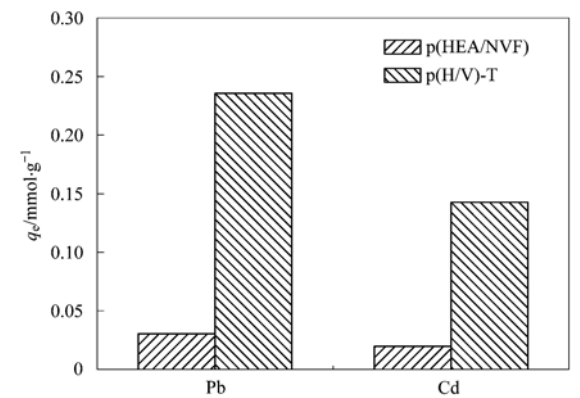


Fig. 2 Comparison of Pb^{2+} and Cd^{2+} adsorption capacities of $p(\,HEA/NVF)$ and $p(\,H/V)$ -T

对 2 种重金属离子的吸附动力学结果进行准一级动力学和准二级动力学方程拟合. 准一级动力学、准二级动力学方程表达式分别为^[13]:

$$\lg(q_e - q_t) = \lg q_e - \frac{K_1 t}{2.303} \tag{2}$$

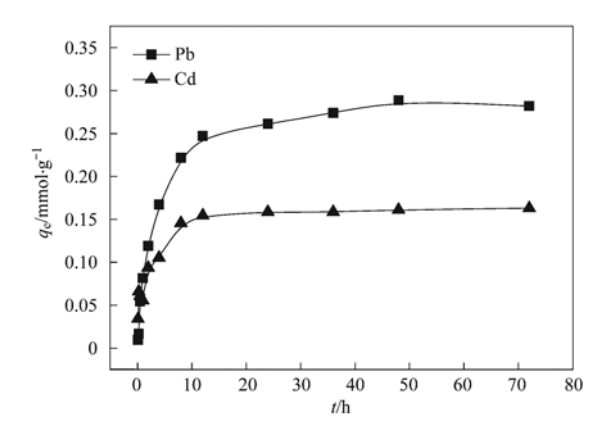
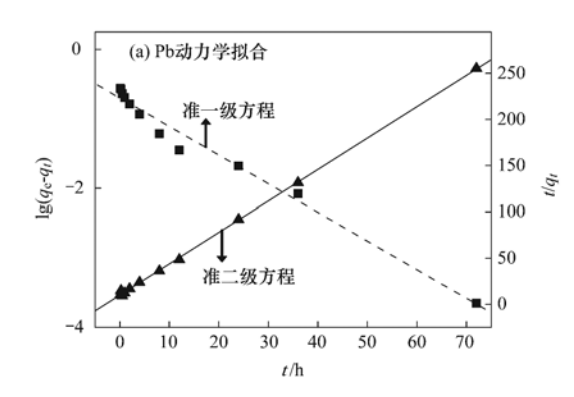


图 3 p(H/V)-T对 Pb^{2+} 、 $Cd^{2+}(c_0=1 \text{ mmol} \cdot L^{-1})$ 的吸附动力学曲线

Fig. 3 Adsorption kinetics of Pb²⁺ and Cd²⁺ $(c_0 = 1 \text{ mmol} \cdot \text{L}^{-1})$ on p(H/V)-T



$$\frac{t}{q_t} = \frac{1}{K_2 q_e^2} + \frac{t}{q_e} \tag{3}$$

式中, q_e 、 q_t 分别为吸附平衡和 t 时的吸附量, mmol·g⁻¹; K_1 为准一级吸附速率常数, h⁻¹; K_2 为准二级吸附速率常数, g·(mmol·h)⁻¹; t 为吸附时间, h. 拟合曲线及结果见图 4 和表 1. 从中可知, p(H/V)-T对 Pb²⁺、Cd²⁺准一级动力学模型的相关系数的平方均小于相应的准二级吸附动力学模型,并且由准二级动力学模型得到平衡吸附量与实验值较为接近. 因此,可推测p(H/V)-T对 2 种金属的吸附动力学过程为准二级动力学吸附,吸附速率被化学吸附所控制^[14]. 通过速率常数 K_2 (Cd²⁺) > K_2 (Pb²⁺)也可以看出, p(H/V)-T对金属离子的吸附速率满足 Cd²⁺ > Pb^{2+[15]}.

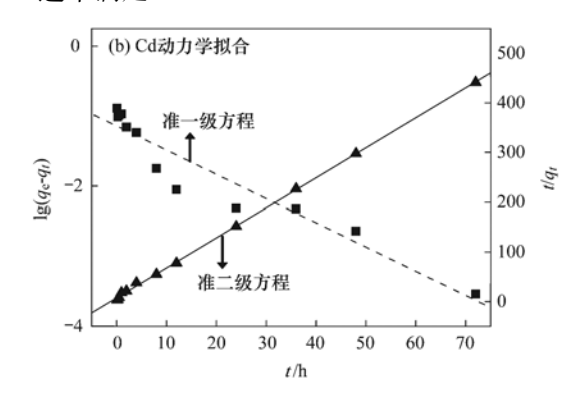


图 4 p(H/V)-T对 Pb^{2+} 、 Cd^{2+} 的吸附动力学方程拟合结果

Fig. 4 Fitting curves of adsorption kinetics of Pb $^{2+}$ and Cd $^{2+}$ on p(H/V)-T

表 1 p(H/V)-T水凝胶对 Pb^{2+} 、 Cd^{2+} 吸附动力学模型拟合结果

Table 1 $\,$ Fitting results of adsorption kinetics of Pb²⁺ and Cd²⁺ on p(H/V)-T

		准一级动力学方程			准二级动力学方程		
金属离子	属离子 $q_{e, 测}$ /mmol·g ⁻¹	$q_{ m e,理}$ /mmol \cdot g $^{-1}$	R^2	K_1/h^{-1}	$q_{ m e, 理}$ /mmol·g $^{-1}$	R^2	K_2 /g·(mmol·h) $^{-1}$
Pb ²⁺ (1 mmol·L ⁻¹)	0. 282	0. 199	0. 980	0. 094 4	0. 294	0. 999	1. 195
Cd ²⁺ (1 mmol·L ⁻¹)	0. 163	0. 072 6	0. 914	0.0783	0. 165	0. 999	5. 131

2.4 p(H/V)-T水凝胶对 Pb^{2+} 、 Cd^{2+} 的吸附等温线 p(H/V)-T对不同初始浓度 (c_0) 的 Pb^{2+} 、 Cd^{2+} 溶液的吸附等温线如图 5 所示. 从中可以看出,p(H/V)-T对 Pb^{2+} 、 Cd^{2+} 的吸附量随着金属初始浓度的增加而增加,整体呈上升趋势;其中,随着平衡浓度的增加,p(H/V)-T对 Pb^{2+} 的吸附量快速上升,对 Cd^{2+} 的吸附量增加缓慢. 对两条曲线的平衡浓度及吸附量进行 Langmuir 和 Freundlich 等温线拟合[16].

Langmuir 线性方程如下:

$$\frac{1}{a_{-}} = \frac{1}{a_{-}k_1c_{-}} + \frac{1}{a_{-}} \tag{4}$$

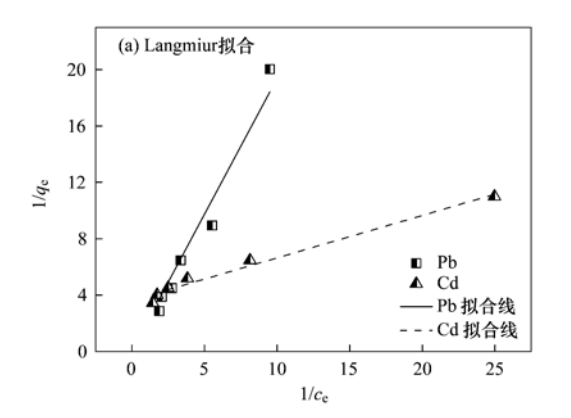
Freundlich 线性方程如下:

$$\lg q_{\rm e} = \frac{1}{n} \lg c_{\rm e} + \lg k_{\rm f} \tag{5}$$

式中, c_e 、 q_e 分别是金属溶液的平衡浓度和吸附量的实验值; q_m 、 K_1 为 Langmuir 方程常数,n、 K_f 为 Freundlich 方程常数,上述系数均可由拟合结果算出. 拟合结果如图 6 和表 2 所示. 相关性系数的平方表明,p(H/V)-T对 Pb^{2+} 和 Cd^{2+} 的吸附均能较好地符合 Freundlich 和 Langmuir 等温吸附模型($R^2 > 0.95$). 其中,p(H/V)-T对 Pb^{2+} 的吸附用 Langmuir 等温线拟合较好,可能为单分子层化学吸附^[17]; Cd^{2+} 的吸附数据用 Freundlich 等温线拟合较好,可能为多分子层吸

附,且 n 值大于 2,说明 Cd^{2+} 易被吸附 [18].

由表 2 中 Langmuir 等温线拟合结果可知, p(H/V)-T对 Pb²⁺和 Cd²⁺的最大吸附量分别为10.0 mmol·g⁻¹和0.275 mmol·g⁻¹.表3中列出了一些已报道的相关吸附剂的吸附效果,与本研究中改性水凝胶的吸附效果进行了对比.从表3可知,本研究中的改性水凝胶p(H/V)-T对 Pb²⁺的最大吸附容量为一些已报道的水凝胶及胺基改性吸附剂的3~100倍^[19~22];p(H/V)-T对 Cd²⁺的最大吸附容量优于类似的合成水凝胶^[22],但弱于一些胺基改性的吸附剂^[23,24].上述结果表明改性水凝胶p(H/V)-T在去除水中的 Pb²⁺和 Cd²⁺离子方面具有一定的应用前景.



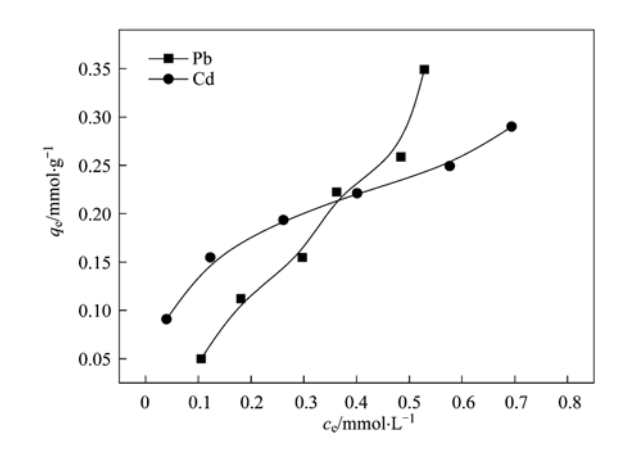


图 5 p(H/V)-T对 Pb²⁺、Cd²⁺的吸附等温线

Fig. 5 Adsorption isotherms of Pb^{2+} and Cd^{2+} on p(H/V)-T

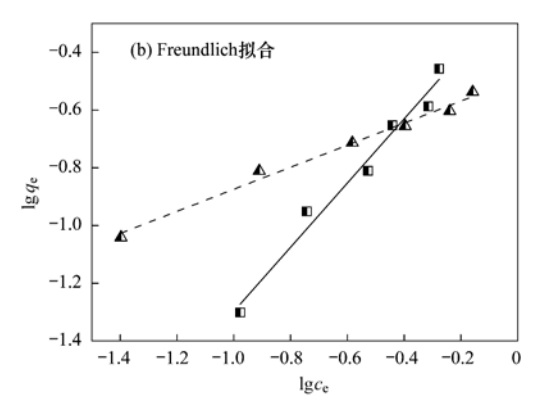


图 6 p(H/V)-T对 Pb2+、Cd2+的吸附等温线拟合图

Fig. 6 Fitting graph of adsorption isotherms of Pb2+ and Cd2+ on p(H/V)-T

表 2 p(H/V)-T对 Pb^{2+} 、 Cd^{2+} 的吸附等温式拟合结果

Table 2 Fitting results of adsorption isotherms of Pb2+ and Cd2+ on p(H/V)-T

人見立フ	Freundlich 等温式			Langmuir 等温式			
金属离子	R^2	n	$K_{ m f}$	R^2	$q_{\rm m}/{\rm mmol}\cdot{\rm g}^{-1}$	K_{l}	
Pb ^{2 +}	0. 971	0. 899	0. 652	0. 983	10. 0	0. 051 8	
Cd ^{2 +}	0. 986	2. 62	0. 322	0. 976	0. 275	12. 1	

表 3 p(H/V)-T水凝胶与其它吸附剂对 Pb2+、Cd2+吸附量比较

Table 3 Comparison of adsorption capacities of Pb^{2+} and Cd^{2+} from aqueous solution by p(H/V)-T and other adsorbents

吸附剂	最大吸附量 q	- 数据来源	
火門加	Pb ^{2 +}	Cd ^{2 +}	数据不你
TETA 改性 p(HEA/NVP)水凝胶	10.0	0. 275	本研究
聚(异丙基性稀酰胺/苯并-18-冠-6-丙烯酰胺)水凝胶	0. 690	_	[19]
壳聚糖接枝聚丙烯酸/海泡石	3.08	_	[20]
聚(丙烯酰胺/甲基丙烯酸钠)水凝胶	0. 217	_	[21]
聚(乙烯基咪唑/丙烯酸/甲基丙烯酸羟乙酯)水凝胶	0. 100	0.030	[22]
三乙烯四胺改性淀粉	0.830	0. 740	[23]
_ 胺基树脂	_	0. 368	[24]

2.5 pH 值对 H/V-T 吸附效果的影响

考虑到金属离子的水解和沉淀作用,对相应金属离子选择不同的 pH 实验范围(Pb^{2+} : pH 1 ~ 5; Cd^{2+} : pH 1 ~ 7). p(H/V)-T对不同 pH 值的 50 mL、

1 mmol·L⁻¹ Pb²⁺、Cd²⁺溶液(0.1 g 干凝胶,振荡反应 24 h,25℃)的吸附结果如图 7 所示. 从中可知,改性后水凝胶对 Pb²⁺、Cd²⁺的吸附量均随着 pH 值的增加有所增加. 这可能是因为,当 pH 值越低时,

胺基上的质子化作用越明显,—NH₂形成的—NH₃⁺ 越多,—NH₃⁺ 与 Pb²⁺、Cd²⁺产生静电斥力,从而降低了对金属离子的吸附能力;随着 pH 值的增大,胺基的质子化作用逐步减小,较多的胺基与金属离子发生螯合作用,从而吸附量逐渐增大^[25,26];而当胺基与金属离子的螯合作用达到饱和时,随着 pH 值的增大,吸附量趋于平缓(如 Cd²⁺). 具体反应式如下(Pb²⁺和 Cd²⁺以 M²⁺表示);

$$R - NH_2 + H^+ \longrightarrow R - NH_3^+$$
 (6)

$$R-NH_2 + M^{2+} \rightleftharpoons R-NH_2M^{2+}$$
 (7)

综上所述,在实际废水处理中,可选择 pH = 5 作为改性水凝胶吸附重金属反应的最佳溶液pH 值.

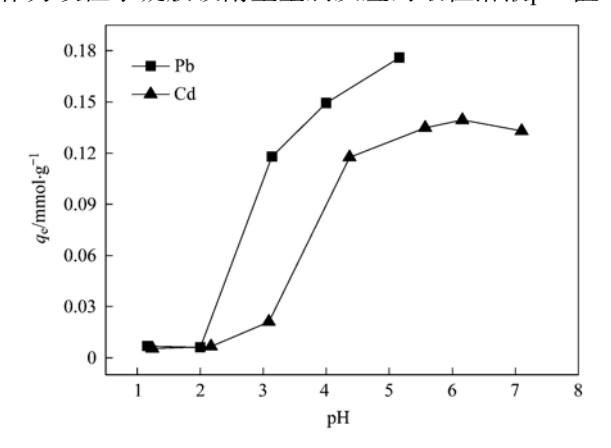


图 7 不同溶液 pH 值对p(H/V)-T吸附量的影响

Fig. 7 Effects of different solution pH values on the adsorption capacities of p(H/V)-T

2.6 改性前后水凝胶的红外光谱分析

采用美国 Nicolet 公司 NEXUS 870 型傅立叶变 换红外光谱仪,分别对 p(HEA/NVF)和p(H/V)-T 水凝胶进行红外谱图分析,结果见图 8. 从 p(HEA/ NVF)水凝胶的红外谱图可以看出,谱图中3 363.3 cm⁻¹主要对应于水凝胶中 HEA 上的—OH 振动峰 以及 NVF 中 N—H 振动峰[27,28], 是 HEA 的特征峰 区; 2 923.6 cm⁻¹处对应于 p(HEA/NVF)凝胶中 C—H 键的伸缩振动^[29]; 1727.9 cm⁻¹处代表着 HEA 和 NVF 单体中的—C = 0 键伸缩振动峰; 1 662.4 cm⁻¹ 处和1 538.9 cm⁻¹ 处分别代表的是 NVF 中—NH—CO—和 N—H 的伸缩振动峰^[30],是 NVF 的特征峰区: 因此,丙烯酸羟乙酯(HEA)和乙 烯基甲酰胺(NVF)已成功聚合成一新型共聚水凝 胶. 对比 p (HEA/NVF) 谱图, 改性后水凝胶 p(H/V)-T的红外谱图中3 344 cm⁻¹处对应的键能 明显减弱,说明改性后凝胶中羟基减少[23]; 1538.9 cm⁻¹处的 N—H 峰移至1577.5 cm⁻¹处,代表着

TETA 中—NH₂ 振动峰的存在^[30]; 1727.9 cm⁻¹处—C =—O键伸缩振动峰强度减小,说明p(H/V)-T中的—C =—O 键含量降低,其原因可能是—C =—O 键与改性剂 TETA 中的—NH₂ 发生了还原反应. 因此对比谱图可知,TETA 基团已成功地被接入 p(HEA/NVF)凝胶中.

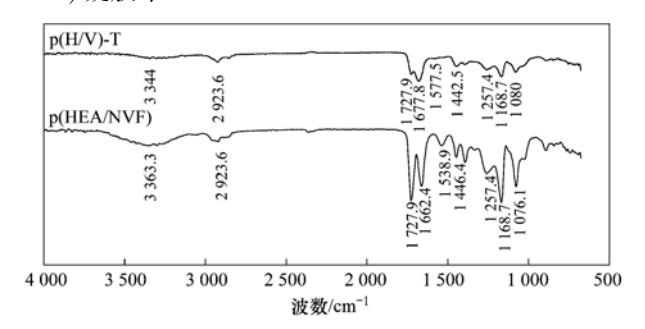


图 8 p(HEA/NVF)和p(H/V)-T的红外谱图 Fig. 8 FTIR spectra of p(HEA/NVF) and p(H/V)-T

2.7 电子能谱分析

为研究改性后水凝胶对重金属的吸附机制,分别对p(H/V)-T及吸附重金属后的p(H/V)-T-Pb、p(H/V)-T-Cd 进行电子能谱分析,将得到的谱图使用 XPSPeak V4.1 进行了分峰处理,并且用 C=284.6~eV 对结合能进行了校正. 宏观 XPS 结果及吸附前后凝胶中 N 元素的高分辨校正 XPS 结果分别如图 9、图 10 所示.

从宏观 XPS 谱图(图 9)中可知,除了检出 p(H/V)-T中的 C1s(285.2 eV)、O1s(532.2 eV)、 N1s(399.7 eV)的特征峰外,在p(H/V)-T-Pb及 p(H/V)-T-Cd 中,分别检测出 Pb4f(137.6 eV)的特 征峰及 Cd3d(411.8 eV) 的特征峰,这说明 Pb^{2+} 和 Cd^{2+} 已成功吸附于p(H/V)-T的表面. 在 N1s 高分 辨 XPS 图(图 10)中,除了 N1s 峰(399.3 eV、398.9 eV)外,p(H/V)-T吸附Pb²⁺、Cd²⁺后的N-XPS图中 出现了新的峰形,分别是 400.1、400.4 和 405.0 eV. 其中,405.0 eV 处对应的是 Cd 原子的特征峰 之一; 400.1 eV 和 400.4 eV 分别对应的是 —NH,Pb²⁺和—NH,Cd²⁺中 N 的特征峰^[31],其原因 为 N 的外层电子的偏移, 使得 N 的电子云密度降 低,从而使 N 的电子结合能升高,显示出高能态的 峰形,说明金属离子(M²⁺)共用了N的一对电子, 一NH2与 M2+之间结合作用为螯合作用[31],这也验 证了公式(6)~(7).

3 结论

(1)采用低温辐射技术,以丙烯酸羟乙酯和乙

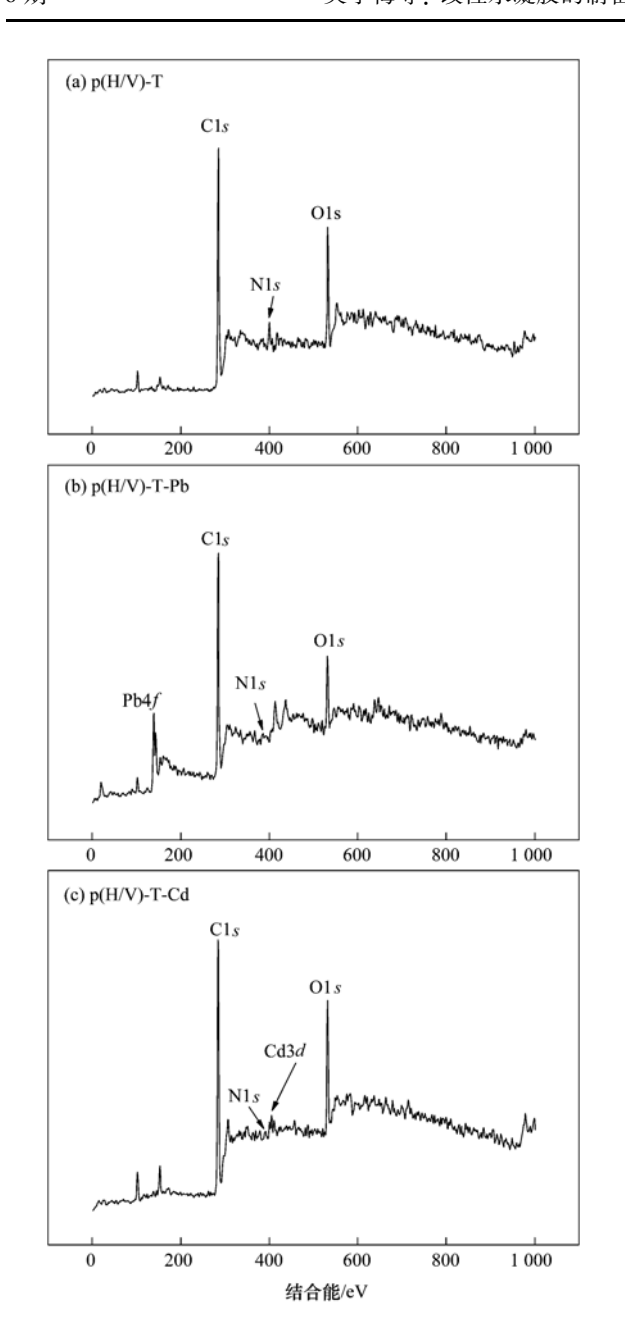


图 9 吸附重金属前后的p(H/V)-T宏观 XPS 图

Fig. 9 Low-resolution XPS spectra of p(H/V)-T hydrogel before and after heavy metal adsorption

烯基甲酰胺为共聚单体、在低温条件下采用⁶⁰Co-γ射线进行辐照,可合成一种新型共聚物水凝胶.

- (2)SEM 分析表明, p(HEA/NVF)水凝胶是一种具有一定比表面积的大孔材料.
- (3)对制得的共聚物水凝胶进行胺化改性后,水凝胶对 Pb^{2+} 的吸附量增加了 700%,对 Cd^{2+} 的吸附量增加了 600%;对 Pb^{2+} 、 Cd^{2+} 的吸附满足准二级动力学方程,吸附等温线均能较好地符合Langmuir和 Freundlich等温吸附模型($R^2 > 0.95$);且随着 pH的升高,改性后水凝胶对 Pb^{2+} 、 Cd^{2+} 的

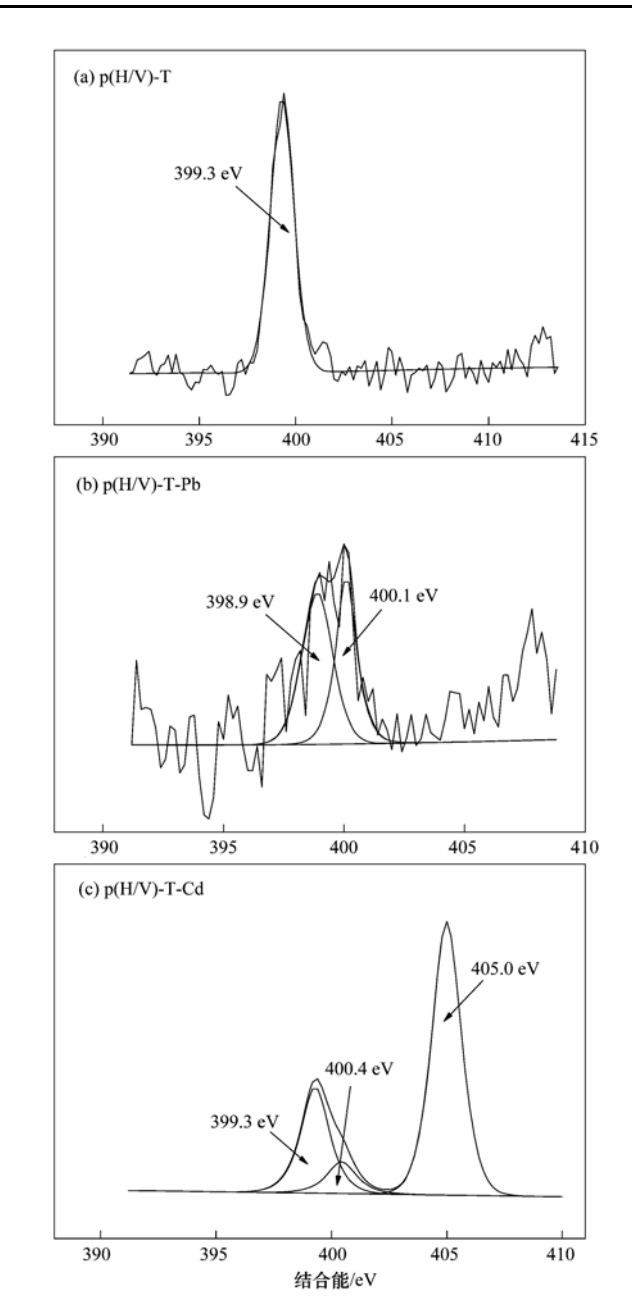


图 10 吸附重金属前后的p(H/V)-T中 N1s 的 XPS 谱图

Fig. 10 $\,$ XPS spectra of N1s in p(H/V)-T hydrogel before and after heavy metal adsorption

吸附量逐渐增加,在 pH = 5 时达到最大值; pH 逐渐增大(pH > 5)时,吸附量趋于平缓(Cd^{2+}).

- (4)经红外谱图分析,HEA 和 NVF 已成功聚合 为一新型共聚物水凝胶,且多胺基团已被成功地接 于共聚物水凝胶表面.
- (5)XPS 分析证实,改性后水凝胶p(H/V)-T对重金属 Pb^{2+} 、 Cd^{2+} 的吸附机制为两者之间的螯合作用.

参考文献:

[1] 陈玉伟,王建龙. 辐射诱导合成水凝胶及其处理重金属废水的研究进展[J]. 化学进展, 2009, **21**(10): 2250-2256.

- [2] Alvarez-Lorenzo C, Concheiro A. Reversible adsorption by a pHand temperature-sensitive acrylic hydrogel [J]. Journal of Controlled Release, 2002, 80(1-3): 247-257.
- [3] El-Hamshary H, El-Sigeny S, Abou Taleb M F, et al. Removal of phenolic compounds using (2-hydroxyethyl methacrylate/ acrylamidopyridine) hydrogel prepared by gamma radiation [J]. Separation and Purification Technology, 2007, 57 (2): 329-337.
- [4] Pan G F, Kurumada K I, Yamada Y. Application of hydrogel for the removal of pollutant phenol in water [J]. Journal of the Chinese Institute of Chemical Engineers, 2008, 39 (4): 361-366.
- [5] Zheng Y, Wang A Q. Evaluation of ammonium removal using a chitosan-g-poly (acrylic acid)/rectorite hydrogel composite[J]. Journal of Hazardous Materials, 2009, 171(1-3): 671-677.
- [6] Kofinas P, Kioussis D R. Reactive phosphorus removal from aquaculture and poultry productions systems using polymeric hydrogels[J]. Environmental Science and Technology, 2003, 37 (2): 423-427.
- [7] Kaşgöz H, Özgümüs S, Orbay M. Modified polyacrylamide hydrogels and their application in removal of heavy metal ions [J]. Polymer, 2003, 44(6): 1785-1793.
- [8] Pekel N, Güven O. Separation of heavy metal ions by complexation on poly (N-vinyl imidazole) hydrogels [J]. Polymer Bulletin, 2004, 51(4): 307-314.
- [9] Cavus S, Gurdag G. Noncompetitive removal of heavy metal ions from aqueous solutions by poly [2-(acrylamido) - 2-methyl- 1propanesulfonic acid-co-itaconic acid] hydrogel[J]. Industrial and Engineering Chemistry Research, 2009, 48(5): 2652-2658.
- [10] 李如忠,周爱佳,童芳,等. 合肥市城区地表灰尘重金属分布特征及环境健康风险评价[J]. 环境科学,2011,32(9):2661-2668.
- [11] 赵青春. 聚合物水凝胶研究进展[J]. 高分子材料科学与工程, 2005, **21**(2): 28-32.
- [12] 刘建, 闫英桃, 候兴汉. 二乙烯三胺接枝螯合絮凝剂的制备及其除汞性能[J]. 环境科学学报, 2009, **29**(12): 2591-2596.
- [13] Hena S. Removal of chromium hexavalent ion from aqueous solutions using biopolymer chitosan coated with poly 3-methyl thiophene polymer [J]. Journal of Hazardous Materials, 2010, 181(1-3): 474-479.
- [14] 冯宁川, 郭学益, 梁莎, 等. 皂化改性橘子皮生物吸附剂对重金属离子的吸附[J]. 环境工程学报, 2012, **6**(5): 1566-1574.
- [15] 莫瑜,潘蓉,黄海伟,等. 毛木耳和白木耳子实体对Cd(Ⅱ)、Cu(Ⅱ)、Pb(Ⅱ)和 Zn(Ⅱ)的吸附特性研究[J]. 环境科学,2010,37(1):1467-1472.
- [16] Liu Y, Gao J, Li C X, et al. Synthesis and adsorption performance of surface-grafted Co (II)-imprinted polymer for selective removal of cobalt [J]. Chinese Journal of Chemistry,

2010, **28**(4): 548-554.

学

- [17] 张娟, 邓慧萍, 薮谷智規, 等. 新型磁性聚谷氨酸吸附剂对水中 Pb²⁺的吸附去除[J]. 环境科学, 2011, **32**(11): 3348-3356
- [18] 曾君丽, 邵友元, 易筱筠, 等. D301 弱碱性阴离子交换树脂 吸附 Cr(W) 的研究 [J]. 环境科学与技术, 2012, **35**(8): 10-15.
- [19] Ju X J, Zhang S B, Zhou M Y, et al. Novel heavy-metal adsorption material: ion-recognition P (NIPAM-co-BCAm) hydrogels for removal of lead (II) ions[J]. Journal of Hazardous Materials, 2009, 167(1-3): 114-118.
- [20] 郑易安,谢云涛,王爱勤. 壳聚糖-g-聚丙烯酸/海泡石复合物对 Pb²⁺的去除性能研究[J]. 环境科学,2009,**30**(9):2575-2579.
- [21] Krušić M K, Milosavljević N, Debeljković A, *et al.* Removal of Pb²⁺ ions from water by poly (acrylamide-co-sodium methacrylate) hydrogels [J]. Water, Air, and Soil Pollution, 2012, **223**(7): 4355-4368.
- [22] Firlak M, Çubuk S, Yetimoğlu E K, et al. Uptake of Pb²⁺ using N-vinyl imidazole based uniform porous hydrogels[J]. Separation Science and Technology, 2011, 46(12): 1984-1993.
- [23] 陈琳, 季靓, 相波, 等. 改性淀粉的合成及其对重金属离子的捕集效果[J]. 化工环保, 2007, 27(6): 563-566.
- [24] 张青梅,郑寿荣,王家宏,等. 胺基树脂的合成及对水中重金属离子的吸附特征[J]. 环境工程学报,2010,4(12):2657-2661.
- [25] 汤红仙, 金加洪, 陈强, 等. 多胺型螯合树脂的制备及吸附性能研究[J]. 材料导报, 2009, **23**(8); 88-90.
- [26] Liu Y H, Cao X H, Hua R, et al. Selective adsorption of uranyl ion on ion-imprinted chitosan/PVA cross-linked hydrogel [J]. Hydrometallurgy, 2010, 104(2): 150-155.
- [27] Li B Y, Su F B, Luo H K, et al. Hypercrosslinked microporous polymer networks for effective removal of toxic metal ions from water[J]. Microporous and Mesoporous Materials, 2011, 138(1-3): 207-214.
- [28] 关晓辉,秦玉春,王立文,等. 纳米 Fe_3O_4 负载的浮游球衣 菌去除重金属离子的工艺研究[J]. 环境科学,2007,28 (2):436-440.
- [29] Abou El-Reash Y G, Otto M, Kenawy I M, et al. Adsorption of Cr(VI) and As(V) ions by modified magnetic chitosan chelating resin[J]. International Journal of Biological Macromolecules, 2011, 49(4): 513-522.
- [30] Yang G W, Han H Y, Du C Y, et al. Facile synthesis of melamine-based porous polymer networks and their application for removal of aqueous mercury ions[J]. Polymer, 2010, 51(26): 6193-6202.
- [31] Liu C K, Bai R, Hong L. Diethylenetriamine-grafted poly (glycidyl methacrylate) adsorbent for effective copper ion adsorption[J]. Journal of Colloid and Interface Science, 2006, 303(1): 99-108.

HUANJING KEXUE

Environmental Science (monthly)

Vol. 34 No. 6 Jun. 15, 2013

CONTENTS

Concentrations and Ozone Formation Potentials of BTEX During 2008-2010 in Urban Beijing, China	····· CAO Han-yu, PAN Yue-peng, WANG Hui, et al. (2065)
Aging and Mixing State of Particulate Matter During Aerosol Pollution Episode in Autumn Shanghai Using a Single Particle Aeroso	l Mass Spectrometer (SPAMS) ·····
Tigning and straining order or Latticeaster During Tections Totalities Expressed in Autumn Colleges College College Colleges	· MU Ying-ying, LOU Sheng-rong, CHEN Chang-hong, et al. (2071)
Chemical Characteristics and Source Assessment of Rainwater at Shenyang	···· ZHANG Lin-jing, ZHANG Xiu-ying, JIANG Hong, et al. (2081)
Variation of Atmospheric Pollutants in Qinhuangdao City	LIU Lu-ning, SHEN Yu-xuan, XIN Jin-yuan, et al. (2089)
NH ₃ , N ₂ O, CH ₄ and CO ₂ Emissions from Growing Process of Caged Broilers	··· ZHOU Zhong-kai. ZHU Zhi-ping. DONG Hong-min. et al. (2098)
Synergetic Effects of Silicon Carbide and Molecular Sieve Loaded Catalyst on Microwave Assisted Catalytic Oxidation of Toluene	
Removal of Mixed Waste Gases by the Biotrickling Filter	THANC Ding fong FANC Inn vi VF Iio vu et al. (2116)
Decomposion of Carbon Disulfide by Pulse Corona Under Oxidizing and Reducing Atmosphere	III Shane HIANG Live: II Cue nine (2121)
Decomposion of Carbon Distinct by ruise Corona Unioer Oxidizing and Reducing Almosphere	JIN Sheng, HUANG LI-Wei, Li Guo-ping (2121)
Effects of Simulated Elevation of Atmospheric CO ₂ Concentration on the Physiological Features of Spring Phytoplankton in Taihu I	ake
	ZHAO Xu-hui, TANG Long-sheng, SHI Xiao-li, et al. (2126)
A New Method for Estimation the Lake Quality Reference Condition	
Parameter Sensitivity Analysis of Runoff Simulation and Model Adaptability Research Based on HSPF	LI Yan, LI Zhao-fu, XI Qing (2139)
Study on Water Quality Monitoring Scheme Based on Non-Point Source Pollution	WU Xi-jun, LI Huai-en, LI Jia-ke, et al. (2146)
Characteristics of Nutrient Loss by Runoff in Sloping Arable Land of Yellow-brown Under Different Rainfall Intensities	······ CHEN Ling, LIU De-fu, SONG Lin-xu, et al. (2151)
Distribution of Dissolved Inorganic Nutrients and Dissolved Overgen in the High Frequency Area of Harmful Algal Blooms in the F	act China Sea in Spring
Distribution of Dissorted Inorganic Futurents and Dissorted Copyright the High Frequency Area of Halinta Argan Dissorted	LI Hong-mei, SHI Xiao-vong, CHEN Peng, et al. (2159)
Temporal-Spatial Distribution of Algal Cells During Drought Period in Daning River of Three Gorges	· ZHANG Yong-sheng ZHENG Bing-hui WANG Kun et al. (2166)
Bioavailability of Dissolved Organic Nitrogen Components in the Lake Sediment to Alage	FENC Wei-ving 7HANC Shang HAO Li-vin et al. (2176)
Influence of Decomposition of <i>Cladophora</i> sp. on Phosphorus Concentrations and Forms in the Overlying Water	HOLL in al.: WELD on CAOL: at al. (2174)
Phosphorus Exchange Between Suspended Solids Sediments Overlying Water Under Repeated Disturbance	TOU JIII-ZIII, WEI QUAII, GAO LI, et at. (2104)
rnospnorus Exchange between Suspended Sonds Sediments Overlying water Under Repeated Disturbance	LI Da-peng, WANG Jing, HUANG Tong (2191)
Distribution Characteristics of PBDEs in Surface Sediment from the Three Gorges Reservoir of Yangtze River	LI Kun, ZHAO Gao-leng, ZHOU Huai-dong, et al. (2198)
Study on UV and H ₂ O ₂ Combined Inactivation of <i>E. coli</i> in Drinking Water	······· ZHANG Yi-qing, ZHOU Ling-ling, ZHANG Yong-ji (2205)
Kinetics and Influencing Factors of Dimethyl Phthalate Degradation in Aqueous Solution by Ozonation	······· YU Li, ZHANG Pei-long, HOU Jia-cai, et al. (2210)
Effects of Nitrate Ion on Monomethylmercury Photodegradation in Water Body	MAO Wen, SUN Rong-guo, WANG Ding-yong, et al. (2218)
Chlorination of Ethynyl Estradiol A Kinetic and Mechanistic Study	···· WANG Bin-nan, LIU Guo-giang, KONG De-yang, et al. (2225)
Metal Ions Restrain the Elimination of 4-tert-Octylphenol by δ-MnO ₂	LI Fei-li MOU Hua-gian (2232)
Removal of Bisphenol A in Aqueous Solutions by Core-shell Magnetic Molecularly Imprinted Polymers	LIU lian-ming LI Hong-hong XIONG Zhen-hu (2240)
Research on Removal of Tetrabromobisphenol A from Synthetic Wastewater by Nanoscale Zero Valent Iron Supported on Organobe	ntonite
research on removal of retransomonspherior A non-symmetre wastewater by Nanoscate Zero varent non-supported on Organobe	
Measurement of Dissolved Organic Nitrogen with Nanofiltration Pretreatment and Its Distribution Characteristics in Landscape Wat	1 Alv Meng-yue, FANG Ziii-iiua, Li Alao-iiiing, et al. (2249)
Measurement of Dissolved Organic Nitrogen with Nanothtration Pretreatment and its Distribution Characteristics in Landscape wat	er
	· · · YU Hong-lei, HUO Shou-liang, YANG Zhou-sheng, et al. (2256)
Preparation of a Novel Modified Hydrogel and Study of Its Adsorption Performance	WU Ning-mei, LI Zheng-kui (2263)
Photocatalytic Reductive Degradation of Direct Red 4BE by Posphotungstic Acid Wastewater Treatment Using a Microbubble Aerated Biofilm Reactor	WEI Hong, LI Ke-bin, LI Juan, et al. (2271)
Wastewater Treatment Using a Microbubble Aerated Biofilm Reactor	ZHANG Lei, LIU Ping, MA Jin, et al. (2277)
Research on Fenton Treatment of the Biochemical Processes Effluent of Bamboo Industry Wastewater	GUO Qing-wen, ZHANG Min, WANG Wei, et al. (2283)
Effect of Fe ^{2 +} on Fermentation Hydrogen Production in an UASB	···· LI Yong-feng, WANG Yi-xuan, CHENG Guo-ling, et al. (2290)
Influence of Substrate Concentration on PHA Production Using Fermented Sugar Cane as Substrate	CHEN Zhi-giang DENG Yi HIJANG Long et al. (2295)
Study on Rapid Start-up of a Nitrifying Process Using Aerobic Granular Sludge as Seed Sludge	III Wen-ru SHEN Vac-liang DINC Ling-ling at al. (2302)
Influencing Factors of High-Concentration Lead Removal Using the Phosphorus-Accumulating Sludge	VANC Min III I and FENC Vanc et al. (2001)
minuencing ractors of right-concentration lead removal using the rhosphorus-Accumulating Studge	TANG MIII, LU LONG, FENG TONG, et al. (2009)
Preliminary Study on Characteristics of Volumetric Oxygen Transfer Coefficient in Granular Sludge Systems Ecological Risk Assessment of Bisphenol A in Chinese Freshwaters	LI Zhi-hua, FAN Chang-qing, WANG Xiao-chang (2314)
Ecological Risk Assessment of Bisphenol A in Chinese Freshwaters	WANG Hao, FENG Cheng-lian, GUO Guang-hui, et al. (2319)
Species Sensitivity Evaluation of Pseudorasbora parva	
Comparison of Aquatic Predicted No-Effect Concentrations (PNECs) for Pentachlorophenol Derived from Different Assessment Ap	proaches LEI Bing-Li, WEN Yu, WANG Yi-pei, et al. (2335)
Study on Hair Hg and Pb Content Distribution of Traffic Polices, Guilin	
Changes in Phototaxical Index of Daphnia carinata Under Electric Field of Direct Current in Response to Cr ⁶⁺ and Hg ²⁺	WANG Fei-xiang, YUAN Ling, HUANG Jian-guo (2350)
Effect of UV-B Radiation on the Chemical Composition and Subsequent Decomposition of Cyclobalanopsis glauca Leaf Litter	SONG Xin-zhang BIJ Tao ZHANG Shui-kui et al. (2355)
Leaf Micro-morphology and Features in Adsorbing Air Suspended Particulate Matter and Accumulating Heavy Metals in Seven Tre	ss Species
Teal state-indipinions; and Teatures in Australia; and Outperford Tautomate states and Accumulating Teaty steams in Section 116	LIU Ling, FANG Yan-ming, WANG Shun-chang, et al. (2361)
Effect of Dissolved Oxygen on Microbial Community in Simultaneous Removal of Carbon, Nitrogen and Sulfur Process	VI Has CHEN Chair 7HANC 1; et al. (236)
Microbial Activity and Community Structure Analysis Under the Different Land Use Patterns in Farmland Soils; Based on the Met	hods PLFA and MicroResp ****
	····· CHEN Xiao-juan, WU Xiao-hong, LIU Shou-long, et al. (2375)
Effects of Drying-rewetting Alternation on Nitrogen Dynamics in a Typical Coastal Wetland: A Simulation Study	
Cadmium and Selected Heavy Metals in Soils of Jianping Area in Wushan County, the Three Gorges Region: Distribution and Soil	rce Recognition ·····
	LIU Yi-zhang, XIAO Tang-fu, NING Zeng-ping, et al. (2390)
Total Contents of Heavy Metals and Their Chemical Fractionation in Agricultural Soils at Different Locations of Beijing City	
Influence of Season Change on the Level of Heavy Metals in Outdoor Settled Dusts in Different Functional Areas of Guiyang City	
Characteristics of Dioxin-Like Polychlorinated Biphenyls Contamination in Soils of Gudao Region in Dongying	WANG Deng-ge CIJI Zhao-jie FII Xiao-wen et al. (2416)
Effects of Simulated Nitrogen Deposition on Organic Matter Leaching in Forest Soil	DIJAN Lei MA Vice vice VII De vice et al. (2422)
Enects of simulated Nutogen Deposition on Organic Matter Learning in Forest Son	CLIN M: TENC V: LUC V : (2422)
Ex-situ Remediation of PAHs Contaminated Site by Successive Methyl-\$\beta\text{-Cyclodextrin Enhanced Soil Washing}	SUN Ming-ming, IENG Ting, LUU Yong-ming, et al. (2428)
Effects of Bacillus mucilaginosus on the Cd Content of Rhizosphere Soil and Enzymes in Soil of Brassica juncea	YANG Rong, LI Bo-wen, LIU Wei (2436)
Concentrations of Antibiotics in Vegetables from Manure-mended Farm	WU Xiao-lian, XIANG Lei, MO Ce-hui, et al. (2442)
Characteristics of Organic Nitrogen Mineralization in Organic Waste Compost-Amended Soil	ZHANG Xu, XI Bei-dou, ZHAO Yue, et al. (2448)
Characteristics and Influence Factors of the Energy Consumption and Pollutant Discharge of Municipal Solid Waste Transfer Statio	ns in Beijing ·····
	WANG Zhao, LI Zhen-shan, FENG Ya-bin, et al. (2456)
Influence of Ammonia on Leaching Behaviors of Incineration Fly Ash and Its Geochemical Modeling	GUAN Zhen-zhen, CHEN De-zhen, Thomas Astrum (2464)
Pretreatment Technology for Fly Ash from MSWI and the Corresponding Study of Chloride Behavior	ZHII Fen-fen Takaoka Masaki Oshita Kazuwuki et al. (2473)
Preparation, Characterization and Adsorption Performance of Mesoporous Activated Carbon with Acidic Groups	II Kun-guan II Vo 7HENC 7hong at al / 2470)
Preliminary Assessment of the Potential of Biochar Technology in Mitigating the Greenhouse Effect in China	HANC This riong THENC Has THE Form and A 2400
remaining assessment of the foreign of Diochar Technology in Miligating the Greenhouse Effect in China	JIANG LII-XIANG, LITENG C. DONG V. 1 (2480)
Research of Potassium Flow and Circulation Based on Substance Flow Analysis	BAI Hua, ZENG SI-yu, DONG Xin, et al. (2493)

《环境科学》第6届编辑委员会

主 编:欧阳自远

副主编:赵景柱 郝吉明 田 刚

编 委: (按姓氏笔画排序)

万国江 王华聪 王凯军 王绪绪 田 刚 田 静 史培军

朱永官 刘志培 汤鸿霄 陈吉宁 孟 伟 周宗灿 林金明

欧阳自远 赵景柱 姜 林 郝郑平 郝吉明 聂永丰 黄 霞

黄耀 鲍强潘纲潘涛魏复盛

环维种草

(HUANJING KEXUE)

(月刊 1976年8月创刊)

2013年6月15日 34卷 第6期

ENVIRONMENTAL SCIENCE

(Monthly Started in 1976)

Vol. 34 No. 6 Jun. 15, 2013

主	管	中国科学院	Superintended	by	Chinese Academy of Sciences
主	办	中国科学院生态环境研究中心	Sponsored	by	Research Center for Eco-Environmental Sciences, Chinese
协	办	(以参加先后为序)			Academy of Sciences
		北京市环境保护科学研究院	Co-Sponsored	by	Beijing Municipal Research Institute of Environmental
		清华大学环境学院			Protection
主	编	欧阳自远			School of Environment, Tsinghua University
编	辑	《环境科学》编辑委员会	Editor-in -Chief		OUYANG Zi-yuan
21111	14	北京市 2871 信箱(海淀区双清路	Edited	by	The Editorial Board of Environmental Science (HUANJING
		18 号,邮政编码:100085)			KEXUE)
		电话:010-62941102,010-62849343			P. O. Box 2871, Beijing 100085, China
		传真:010-62849343			Tel:010-62941102,010-62849343; Fax:010-62849343
		E-mail; hjkx@ rees. ac. cn			E-mail; hjkx@ rcees. ac. cn
		http://www.hjkx.ac.cn			http://www. hjkx. ac. cn
出	版	4 星 虫 版 社	Published	by	Science Press
щ	///	北京东黄城根北街 16 号			16 Donghuangchenggen North Street,
		邮政编码:100717			Beijing 100717, China
印刷装	ìΤ	北京北林印刷厂	Printed	by	Beijing Bei Lin Printing House
发	行	斜学出版社	Distributed	by	Science Press
		电话:010-64017032			Tel:010-64017032
		E-mail:journal@mail.sciencep.com			E-mail:journal@mail.sciencep.com
订 购	处	全国各地邮电局	Domestic		All Local Post Offices in China
国外总发	钪行	中国国际图书贸易总公司	Foreign		China International Book Trading Corporation (Guoji
		(北京 399 信箱)			Shudian), P. O. Box 399, Beijing 100044, China

中国标准刊号: ISSN 0250-3301 CN 11-1895/X

国内邮发代号: 2-821

国内定价:90.00元

国外发行代号: M 205

国内外公开发行